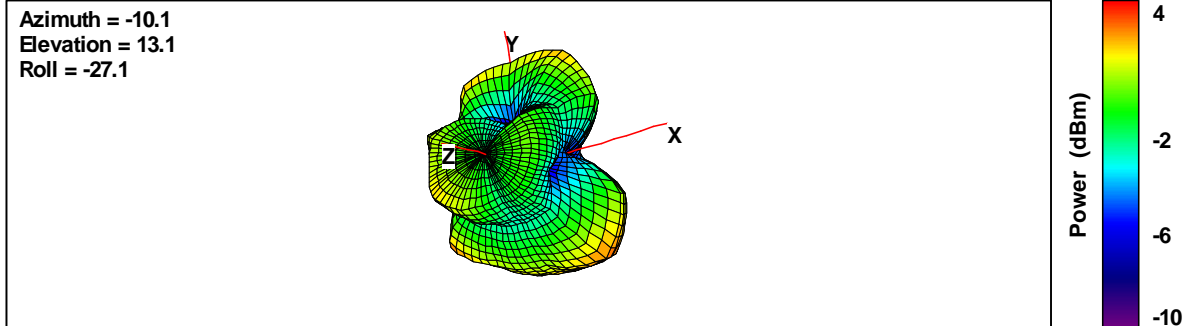


### Results: lowest channel

#### Total



Polarization	Theta	Theta Angle (°)	0	30	60	90	120	150	180
	Phi Angle (°)	Power (dBm)	Power (dBm)	Power (dBm)	Power (dBm)	Power (dBm)	Power (dBm)	Power (dBm)	Power (dBm)
	0	-4,62	-1,05	-4,78	-7,38	-6,67	-3,98	-7,23	
	30	-13,93	-6,26	-3,68	-0,02	-3,16	-14,19	-20,76	
	60	-12,43	-21,02	-4,09	2,45	-1,63	-8,46	-11,17	
	90	-4,22	-5,81	-17,32	1,63	-1,33	-7,90	-4,88	
	120	-1,66	-1,32	-15,60	2,58	-0,34	-7,63	-2,96	
	150	-1,76	-0,49	-3,93	-7,23	-4,14	-3,19	-3,59	
	180	-4,62	-2,85	-15,98	-4,16	-2,83	-9,25	-7,23	
	210	-13,93	-2,90	-5,58	2,96	-1,69	-16,08	-20,76	
	240	-12,43	-0,95	-7,19	0,73	0,53	-9,99	-11,17	
	270	-4,22	-5,30	-7,92	0,70	0,82	-10,07	-4,88	
	300	-1,66	-0,78	-5,03	2,91	1,60	-5,74	-2,96	
	330	-1,76	-0,42	-6,63	0,80	0,17	-4,67	-3,59	
	360	-4,62	-1,05	-4,78	-7,38	-6,67	-3,98	-7,23	
	Phi	Theta Angle (°)	0	30	60	90	120	150	180
	Phi Angle (°)	Power (dBm)	Power (dBm)	Power (dBm)	Power (dBm)	Power (dBm)	Power (dBm)	Power (dBm)	Power (dBm)
	0	-4,22	-4,69	-9,82	-12,84	-16,98	-6,29	-4,88	
	30	-1,66	-1,12	-5,90	-10,29	-6,11	-6,31	-2,96	
	60	-1,76	-4,17	-9,72	-9,48	-5,97	-4,91	-3,59	
	90	-4,62	-5,21	-9,68	-10,82	-8,51	-3,74	-7,23	
	120	-13,93	-6,94	-6,42	-8,65	-6,92	-5,99	-20,76	
	150	-12,43	-3,74	-0,70	-2,82	-8,40	-6,53	-11,17	
	180	-4,22	-0,86	-3,09	-10,64	-12,21	-7,79	-4,88	
	210	-1,66	0,61	-5,01	-7,58	-3,97	-7,04	-2,96	
	240	-1,76	-2,52	-4,03	-8,15	0,19	-0,81	-3,59	
	270	-4,62	-4,58	-3,92	-18,86	-0,94	0,82	-7,23	
	300	-13,93	-13,02	-5,63	-9,53	-3,71	0,74	-20,76	
	330	-12,43	-10,83	-17,48	-19,74	-13,59	-0,05	-11,17	

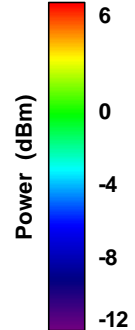
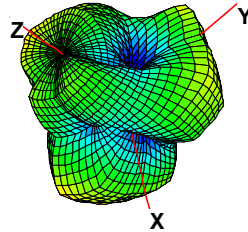
## OTA Performance Report 1-1100-01-07\_09

	360	-4,22	-4,69	-9,82	-12,84	-16,98	-6,29	-4,88
Total	Theta Angle (°)	0	30	60	90	120	150	180
	Phi Angle (°)	Power (dBm)	Power (dBm)	Power (dBm)	Power (dBm)	Power (dBm)	Power (dBm)	Power (dBm)
	0	-1,41	0,51	-3,60	-6,29	-6,28	-1,97	-2,89
	30	-1,41	0,04	-1,64	0,37	-1,38	-5,65	-2,89
	60	-1,41	-4,08	-3,04	2,72	-0,27	-3,32	-2,89
	90	-1,41	-2,49	-8,99	1,87	-0,57	-2,33	-2,89
	120	-1,41	-0,27	-5,93	2,90	0,52	-3,72	-2,89
	150	-1,41	1,19	0,99	-1,48	-2,76	-1,53	-2,89
	180	-1,41	1,27	-2,87	-3,28	-2,35	-5,45	-2,89
	210	-1,41	2,21	-2,28	3,33	0,33	-6,53	-2,89
	240	-1,41	1,35	-2,32	1,26	3,37	-0,31	-2,89
	270	-1,41	-1,91	-2,47	0,75	3,03	1,16	-2,89
	300	-1,41	-0,53	-2,31	3,15	2,72	1,62	-2,89
	330	-1,41	-0,05	-6,29	0,84	0,35	1,24	-2,89
	360	-1,41	0,51	-3,60	-6,29	-6,28	-1,97	-2,89
Total	Point Values							
	Ant. Port Input Pwr. (dBm)	4,9						
	Tot. Rad. Pwr. (dBm)	-0,258225						
	Peak EIRP (dBm)	3,37069						
	Gain (dBi)	-1,52931						

### Results: middle channel

#### Total

Azimuth = 50.3  
Elevation = -21.6  
Roll = -54.0



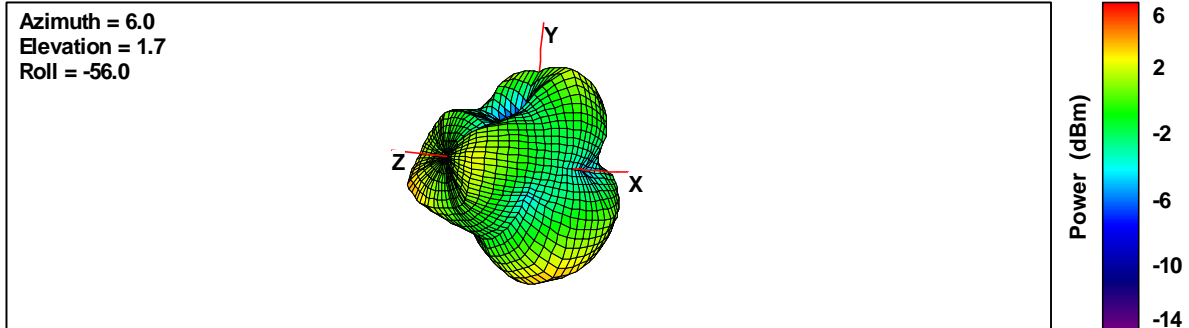
Polarization								
Theta	Theta Angle (°)	0	30	60	90	120	150	180
	Phi Angle (°)	Power (dBm)	Power (dBm)	Power (dBm)	Power (dBm)	Power (dBm)	Power (dBm)	Power (dBm)
	0	-4,56	-0,16	-4,23	-6,81	-6,55	-2,74	-4,42
	30	-15,93	-4,96	-2,94	-0,22	-2,16	-16,66	-14,02
	60	-10,04	-15,36	-4,43	2,47	0,42	-9,45	-11,83
	90	-3,04	-4,50	-21,20	1,61	-1,06	-9,02	-3,84
	120	-0,86	-1,15	-23,23	3,17	0,42	-5,97	-1,34
	150	-1,26	-1,08	-3,48	-8,44	-3,17	-2,22	-1,49
	180	-4,56	-1,57	-16,93	-3,50	-2,49	-10,21	-4,42
	210	-15,93	-0,66	-11,20	3,58	-0,71	-13,37	-14,02
	240	-10,04	0,11	-7,55	0,28	1,81	-9,47	-11,83
	270	-3,04	-4,59	-8,84	1,74	1,49	-8,80	-3,84
	300	-0,86	1,51	-4,25	3,55	2,32	-4,92	-1,34
	330	-1,26	-0,21	-5,40	1,25	0,97	-3,70	-1,49
	360	-4,56	-0,16	-4,23	-6,81	-6,55	-2,74	-4,42
Phi	Theta Angle (°)	0	30	60	90	120	150	180
	Phi Angle (°)	Power (dBm)	Power (dBm)	Power (dBm)	Power (dBm)	Power (dBm)	Power (dBm)	Power (dBm)
	0	-3,04	-4,21	-6,45	-10,15	-18,07	-7,83	-3,84
	30	-0,86	-1,05	-6,39	-10,16	-4,91	-5,50	-1,34
	60	-1,26	-4,48	-10,51	-9,87	-4,46	-3,47	-1,49
	90	-4,56	-5,87	-10,84	-12,00	-7,01	-1,78	-4,42
	120	-15,93	-4,55	-4,33	-8,75	-6,02	-5,32	-14,02
	150	-10,04	-0,91	-0,85	-3,93	-9,83	-5,92	-11,83
	180	-3,04	0,58	-2,54	-14,44	-8,40	-7,44	-3,84
	210	-0,86	1,68	-2,21	-5,67	-2,30	-4,97	-1,34
	240	-1,26	-0,89	-3,31	-9,81	1,08	0,06	-1,49
	270	-4,56	-2,58	-2,72	-19,99	-0,47	1,61	-4,42
	300	-15,93	-10,03	-4,18	-9,98	-3,43	1,42	-14,02
	330	-10,04	-11,23	-14,20	-19,54	-16,35	0,40	-11,83

## OTA Performance Report 1-1100-01-07\_09

	360	-3,04	-4,21	-6,45	-10,15	-18,07	-7,83	-3,84
Total	Theta Angle (°)	0	30	60	90	120	150	180
	Phi Angle (°)	Power (dBm)	Power (dBm)	Power (dBm)	Power (dBm)	Power (dBm)	Power (dBm)	Power (dBm)
	0	-0,72	1,28	-2,19	-5,16	-6,25	-1,57	-1,11
	30	-0,72	0,43	-1,32	0,20	-0,31	-5,18	-1,11
	60	-0,72	-4,14	-3,47	2,72	1,64	-2,49	-1,11
	90	-0,72	-2,12	-10,46	1,80	-0,07	-1,03	-1,11
	120	-0,72	0,49	-4,27	3,44	1,31	-2,62	-1,11
	150	-0,72	2,02	1,04	-2,62	-2,32	-0,68	-1,11
	180	-0,72	2,65	-2,39	-3,16	-1,50	-5,59	-1,11
	210	-0,72	3,68	-1,69	4,07	1,57	-4,38	-1,11
	240	-0,72	2,65	-1,92	0,69	4,47	0,52	-1,11
	270	-0,72	-0,46	-1,77	1,77	3,63	1,99	-1,11
	300	-0,72	1,81	-1,20	3,74	3,35	2,33	-1,11
	330	-0,72	0,12	-4,86	1,29	1,05	1,83	-1,11
	360	-0,72	1,28	-2,19	-5,16	-6,25	-1,57	-1,11
Total	Point Values							
	Ant. Port Input Pwr. (dBm)	4.8						
	Tot. Rad. Pwr. (dBm)	0,391076						
	Peak EIRP (dBm)	4,46773						
	Gain (dBi)	-0.33227						

### Results: highest channel

#### Total



Polarization							
Theta	Theta Angle (°)	0	30	60	90	120	150
	Phi Angle (°)	Power (dBm)	Power (dBm)	Power (dBm)	Power (dBm)	Power (dBm)	Power (dBm)
	0	-3,35	1,48	-2,78	-4,23	-5,59	-2,23
	30	-12,28	-3,50	-3,80	-1,16	-3,10	-22,24
	60	-11,75	-14,04	-4,28	2,24	-0,23	-9,00
	90	-3,21	-2,68	-19,60	0,44	-2,57	-7,78
	120	-0,55	-0,41	-22,77	2,58	-0,18	-3,78
	150	-0,59	-1,69	-3,61	-6,57	-2,20	-2,11
	180	-3,35	-0,39	-16,94	-1,85	-3,58	-10,39
	210	-12,28	-0,16	-13,29	2,10	0,15	-8,74
	240	-11,75	0,59	-7,82	1,23	0,95	-9,66
	270	-3,21	-2,72	-5,43	3,39	0,22	-9,94
	300	-0,55	0,10	-8,48	3,60	1,28	-7,32
	330	-0,59	0,65	-5,12	-1,14	0,61	-0,86
	360	-3,35	1,48	-2,78	-4,23	-5,59	-2,23
Phi	Theta Angle (°)	0	30	60	90	120	150
	Phi Angle (°)	Power (dBm)	Power (dBm)	Power (dBm)	Power (dBm)	Power (dBm)	Power (dBm)
	0	-3,21	-3,01	-6,17	-11,61	-18,29	-7,61
	30	-0,55	-0,41	-5,50	-10,36	-5,95	-6,40
	60	-0,59	-5,10	-11,61	-12,60	-5,79	-4,07
	90	-3,35	-6,73	-15,13	-14,98	-8,05	-2,31
	120	-12,28	-4,77	-4,22	-11,57	-5,01	-4,50
	150	-11,75	-1,59	-0,82	-4,36	-9,59	-3,96
	180	-3,21	-0,83	-1,59	-20,74	-8,18	-5,55
	210	-0,55	2,43	-2,53	-7,29	-1,88	-6,31
	240	-0,59	-1,20	-2,72	-10,18	1,30	1,85
	270	-3,35	-3,35	-2,79	-19,38	-2,33	2,22
	300	-12,28	-12,99	-2,97	-9,62	-3,02	1,31
	330	-11,75	-3,71	-12,66	-11,99	-11,92	-3,96
	360	-3,21	-3,01	-6,17	-11,61	-18,29	-7,61

## OTA Performance Report 1-1100-01-07\_09

Total	Theta Angle (°)	0	30	60	90	120	150
	Phi Angle (°)	Power (dBm)	Power (dBm)	Power (dBm)	Power (dBm)	Power (dBm)	Power (dBm)
	0	-0,27	2,80	-1,14	-3,50	-5,36	-1,12
	30	-0,27	1,33	-1,56	-0,67	-1,29	-6,29
	60	-0,27	-4,58	-3,54	2,38	0,84	-2,86
	90	-0,27	-1,24	-13,80	0,57	-1,49	-1,22
	120	-0,27	0,95	-4,16	2,75	1,05	-1,11
	150	-0,27	1,37	1,02	-2,32	-1,47	0,07
	180	-0,27	2,41	-1,47	-1,79	-2,29	-4,32
	210	-0,27	4,34	-2,18	2,57	2,26	-4,34
	240	-0,27	2,80	-1,55	1,53	4,14	2,15
	270	-0,27	-0,01	-0,90	3,42	2,14	2,48
	300	-0,27	0,31	-1,89	3,80	2,65	1,87
	330	-0,27	2,01	-4,42	-0,80	0,84	0,87
	360	-0,27	2,80	-1,14	-3,50	-5,36	-1,12
Total	Point Values						
	Ant. Port Input Pwr. (dBm)	4,7					
	Tot. Rad. Pwr. (dBm)	0,285682					
	Peak EIRP (dBm)	4,33676					
	Gain (dBi)	-0,363236					